

L-1,3-Dioxolane 및 L-1,3-Oxathiolane 피리미딘 뉴크레오사이드의 합성

홍준희 · 박정하 · 송지연 · 최보길* · 정병호* · 김중협** · 이종교*** · 정원근 · 천문우^{*}
서울대학교 약학대학, *전남대학교 약학대학, **한국과학기술연구원, ***한국화학연구소

(Received October 18, 1994)

Synthesis of L-1,3-Dioxolane and L-1,3-Oxathiolane Pyrimidine Nucleosides

Joon Hee Hong, Jeong Ha Park, Ji Yeon Song, Bo Gil Choi*, Byung Ho Chung*
Joong Hyup Kim**, Chong-Kyo Lee***, Won-Keun Chung and Moon Woo Chun
College of Pharmacy, Seoul National University, *College of Pharmacy, Chonnam National University
Korea Institute of Science and Technology, *Korea Research Institute of Chemical Technology

Abstract – (\pm)-Dioxolane-T and (\pm)-BCH-189 are known to possess anti-HIV activities, and less toxicities compared to other dideoxynucleoside AIDS drugs. We have synthesized 34 different enantiomerically pure nucleosides by glycosylation of L-1,3-dioxolanyl acetate and L-1,3-oxathiolanyl acetate sugar moieties with uracil or 6-azauracil with alkyl chains(C_1-C_9) on 5 or 6 position.

Keywords □ Anti-viral agent, L-gulose, L-1,3-dioxolanyl acetate, L-1,3-oxathiolanyl acetate, L-1,3-oxathiolanyl pyrimidine nucleoside, L-1,3-dioxolanyl pyrimidine nucleoside

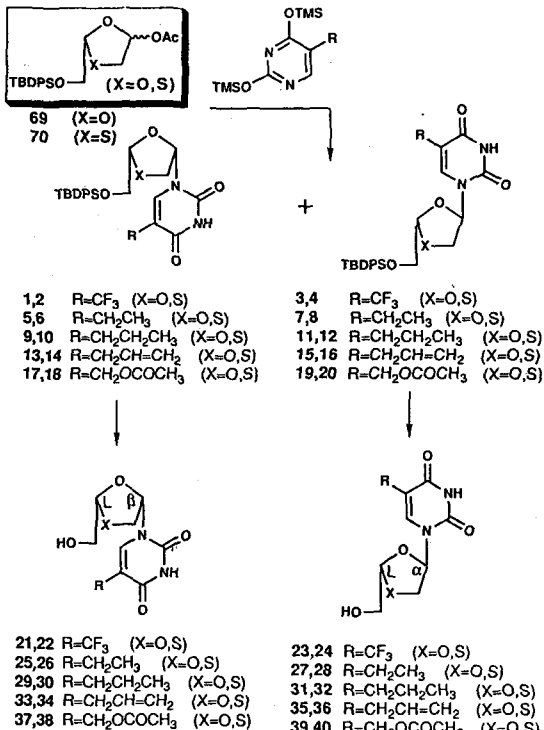
Thymidine의 당부분 중 3' 탄소가 산소로 치환된 소위(\pm)-dioxolanyl thymine[(\pm) -dioxolane-T]이 Belleau 등에 의해서 anti-HIV효과가 있다는 사실이 발표된 이후 Norbeck 등과 Choi 등에 의해서 이들의 합성이 보고되었다.¹⁻³⁾ 그 후 Chu 등은 L-gulose를 출발물질로 하여(\pm)-dioxolane-T의 당부분에 해당되는 L-1,3-dioxolanyl acetate(69) 및 L-1,3-oxathiolanyl acetate(70)를 합성하여 5-halogen pyrimidine 염기류 및 purine염기류를 축합하여 각각의 구조활성관계를 연구하였다.⁴⁻⁶⁾ 저자 등은 이미 이들의 당부분의 합성방법을 개선하였고⁷⁾ 본 연구에서는 염기로서 5-alkyluracil, 6-azauracil, 6-azathymine 및 5, 6-dialkyuracil 등을 상기 L-형의 당부분과 축합하여 수종의 L-뉴크레오사이드를 합성하였다.^{8,9)}(Scheme I, II, III)

실 험

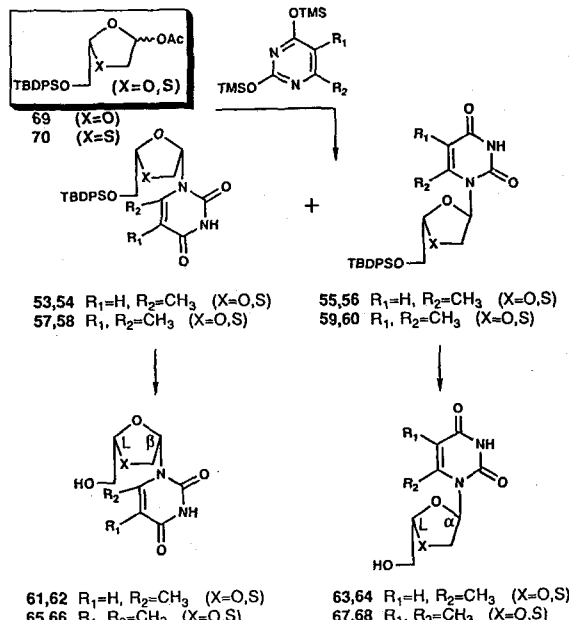
사용한 약들은 Aldrich Chem Co. 및 Sigma Chem Co.의 것을 사용하였고 모든 유기용매는 정제하여 사용하였다. Column chromatography는 Kiesel gel 60, 70~230 mesh를 사용하였으며 TLC는 Kiesel gel 60F₂₅₄를 사용하였다. 용점은 Buchi 535 melting point apparatus를 이용하여 측정하였고 온도보정은 하지 않았다. NMR-스펙트럼은 TMS를 내부 표준물질로 하여Bruker wp 80sy spectrophotometer와 Jeol Gcx 400 FT NMR spectrophotometer을 사용하여 얻었으며 선광도는JASCO DIP-360 Digital polarimeter를 사용하여 그 값을 얻었다.

보호된 뉴크레오사이드의 일반 합성법 – 건조한 염기(4.7 mmol)와 ammonium sulfate(촉매량)을 무수 hexamethyldisilazane(15 mL)에 혼탁시키고 일야동안 환류시켰다. 투명한 반응액을 상온까지 냉각하고 용매를 감압 농축하여 무색투명한 오일상의 disilylation된 염기를 얻었다. 이 오일상의 잔사에 무수 1, 2-dichloroethane(5 mL)을 가하여 녹이고 같은 용매(5 mL)에 용해된 L-1,3-dioxolane acetate 혹은 L-1,3-

*본 논문에 관한 문의는 이 저자에게로



Scheme I

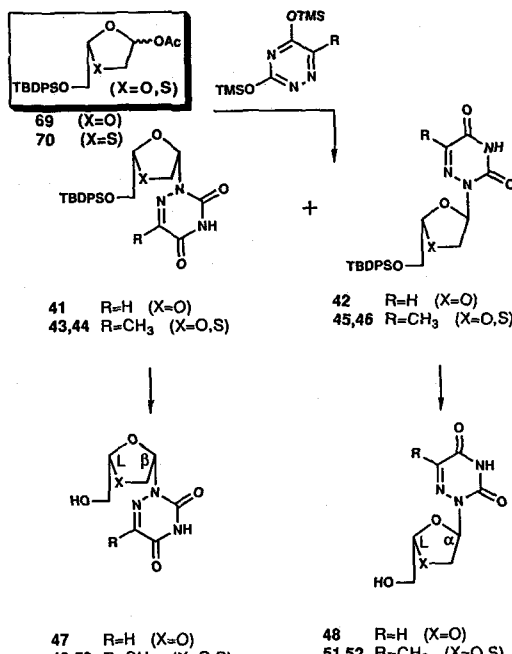


Scheme III

지 냉각후 trimethylsilyl trifluoromethane sulphonate (4.7 mmol)을 천천히 가하고 실온에서 2시간 동안 교반하였다. TLC로 반응 종결을 확인한 후 포화 NaHCO₃ 용액(10 mL)를 가하고 30분간 더 교반하였다. 생성된 고체를 celite로 여과하여 제거하고 여액을 methylene chloride로 추출한다. 유기층을 포화Na HCO₃ 용액, brine순으로 세척하고, 무수MgSO₄로 건조시켰다. 다시celite로 여과한 후 여액을 감압 농축하여 잔사를 실리카겔column chromatography(n-heptane : ethylacetate = 2 : 1)로 정제 하여 보호된 L-1,3-dioxolanyl nucleoside 및 L-1,3-oxathiolanyl nucleoside를 얻었다. 그러나 L-1,3-oxathiolane nucleoside의 경우에는 anemic mixture의 분리를 투보호한 후 행하였다.

(2S,4S)-1-[2-[*tert*-Butyldiphenylsilyl]oxy methyl]-1,3-dioxolan-4yl]-5-trifluoromethyl uracil (1) and (2S,4R)-1-[2-[*tert*-butyldiphenyl silyl]oxy methyl]-1,3-dioxolan-4yl]-5-trifluoromethyl uracil (3)

— 오일상의 화합물 1 및 3을 수율 34.9% 및 34.0 %로 얻었다. 1; ¹H NMR(CDCl₃, 400 MHz) δ 1.055(s, t-Bu), 3.491(s, 2H, H-5'), 3.916(dd, 1H, Hb-2'), 4.222(dd, 1H, Ha-2'), 5.141(t, 1H, H-4'), 7.456~7.532(m, 10H, Ar), 8.609(s, 1H, H-6) and 3; δ 1.053(s, 9H, t-Bu), 3.743~3.814(m, 2H, H-5'). 4.077(dd, 1H, Hb-



Scheme II

oxathiolane acetate(2.35 mmol)용액을가한후 0°C까

2'), 4.435(dd, 1H, Ha-2'), 5.565(t, 1H, H-4'), 6.192(dd, 1H, H-1'), 7.448~8.292(m, 10H, Ar), 8.654(s, 1H, H-6)

(2R,5S)-1-[2-[(tert-Butyldiphenylsilyl)oxymethyl]-1,3-oxathiolan-5-yl]-5-trifluoromethyl uracil (2) and (2R,5R)-1-[2-[(tert-butyldiphenylsilyl)oxymethyl]-1,3-oxathiolan-5-yl]-5-trifluoromethyl uracil uracil (4)—오일상의 화합물 2 및 4은 수율 41.0% 및 22.0%로 얻었다. 2; ^1H NMR(CDCl₃, 400 MHz) δ 1.04(s, 9H, t-Bu), 3.12(dd, J=12.4 and 3.6 Hz, 1H, Hb-2'), 3.52(dd, J=12.4 and 5.6 Hz, 1H, Ha-2'), 4.0~4.67(m, 2H, H-5'), 5.3(t, J=4.6 Hz, 1H, H-4'), 6.29(dd, J=5.6 and 3.6 Hz, 1H, H-1'), 7.37~7.68(m, 10H, 2^{Ar}), 8.05(s, 1H, H-6) and 4; ^1H NMR(CDCl₃, 400 MHz) δ 1.05(s, 9H, t-Bu), 3.12(dd, J=12.4 and 1.6 Hz, 1H, Hb-2'), 3.58(dd, J=12.4 and 4.2 Hz, 1H, Ha-2'), 3.77~3.81(m, 2H, H-5'), 5.61(t, J=4.4 Hz, 1H, H-4'), 6.34(dd, J=4.2 and 1.6 Hz, 1H, H-1'), 7.38~7.70(m, 10H, 2^{Ar}), 7.85(s, 1H, H-6)

(2S,4S)-1-[2-[(tert-Butyldiphenylsilyl)oxymethyl]-1,3-dioxolan-4yl]-5-ethyl uracil (5) and (2S,4R)-1-[2-[(tert-butyldiphenylsilyl)oxymethyl]-1,3-dioxolan-4yl]-5-ethyl uracil (7)—오일상의 화합물 5 및 7을 수율 23.0% 및 25.5%로 얻었다. 5; ^1H NMR (CDCl₃, 400 MHz) δ 1.051(s, 9H, t-Bu), 1.067(t, 3H, -CH₂CH₃), 2.272(dd, 2H, -CH₂CH₃), 3.678(s, 1H, 2H, H-5'), 4.101(dd, 1H, Hb-2'), 4.229(dd, 1H, Ha-2'), 5.581(t, 1H, H-4'), 6.201(dd, 1H, H-1'), 7.102~7.194(m, 10H, Ar), 7.801(s, 1H, H-6') and 7; δ 1.062(s, 9H, t-Bu), 1.071(t, 3H, -CH₂CH₃), 2.302(dd, 2H, -CH₂CH₃), 3.599~3.642(m, 2H, H-5'), 4.222(dd, 1H, Hb-2'), 4.207(dd, 1H, Ha-2'), 5.601(t, 1H, H-4'), 6.301(dd, 1H, H-1'), 7.222~8.119(m, 10H, Ar), 7.881(s, 1H, H-6)

(2R,5S)-1-[2-[(tert-Butyldiphenylsilyl)oxymethyl]-1,3-oxathiolan-5-yl]-5-ethyluracil (6) and (2R,5R)-1-[2-[(tert-butyldiphenylsilyl)oxymethyl]-1,3-oxathiolan-5-yl]-5-ethyl uracil (8)—Anomeric mixture로서 oil상의 6, 8(60%)를 얻었다.

(2S,4S)-1-[2-[(tert-Butyldiphenylsilyl)oxymethyl]-1,3-dioxolan-4yl]-5-propyl uracil (9) and (2S,4R)-1-[2-[(tert-butyldiphenylsilyl)oxymethyl]-1,3-

dioxolan-4yl]-5-propyl uracil (11)—오일상의 화합물 9 및 11은 수율 34.0% 및 16.0%로 얻었다. 9; ^1H NMR(CDCl₃, 400 MHz) δ 0.781(t, 3H, -CH₂CH₂CH₃), 1.053(s, 9H, t-Bu), 1.29~1.35(m, 2H, -CH₂CH₂CH₃), 2.040(t, 2H, -CH₂CH₂CH₃), 3.471(s, 2H, H-5'), 3.867(1H, Hb-2'), 4.129(dd, 1H, Ha-2'), 5.088(t, 1H, H-4'), 6.328(t, 1H, H-1'), 7.397~7.482(m, 10H, Ar), 8.201(s, 1H, H-6) and 11; δ 0.927(t, 3H, -CH₂CH₂CH₃), 1.014(s, 9H, t-Bu), 1.528~1.612(m, 2H, -CH₂CH₂CH₃), 2.286(t, 2H, -CH₂CH₂CH₃), 3.685(s, 2H, H-5'), 4.015(dd, 1H, Hb-2'), 4.345(dd, 1H, Ha-2'), 5.520(t, 1H, H-4'), 6.301(dd, 1H, H-1'), 7.405~8.192(m, 10H, Ar), 8.418(s, 1H, H-6)

(2R,5S)-1-[2-[(tert-Butyldiphenylsilyl)oxymethyl]-1,3-oxathiolan-5-yl]-5-propyluracil (10) and (2R,5R)-1-[2-[(tert-butyldiphenylsilyl)oxymethyl]-1,3-oxathiolan-5-yl]-5-propyl uracil (12)—Anomeric mixture로서 무색 oil상의 10,12(63%)를 얻었다.

(2S,4S)-1-[2-[(tert-Butyldiphenylsilyl)oxymethyl]-1,3-dioxolan-4yl]-5-2-(propylene) uracil (13) and (2S,4R)-1-[2-[(tert-butyldiphenylsilyl)oxy methyl]-1,3-dioxolan-4yl]-5-[2-(propylene)] uracil (15)—오일상의 화합물 13 및 15을 수율 43.5% 및 36.3%로 얻었다. 13; ^1H NMR(CDCl₃, 400 MHz) δ 1.069(s, 9H, t-Bu), 2.868(dd, 2H, CH₂CH=CH₂), 3.490(s, 2H, H-5'), 3.879(dd, 1H, Hb-2'), 4.145(dd, 1H, Ha-2'), 4.918~5.432(m, 2H, -CH₂CH=CH₂), 5.119(t, 1H, H-4'), 5.610~5.987(m, 1H, -CH₂CH=CH₂), 6.333(t, 1H, H-1'), 7.411~8.123(m, 10H, Ar), 8.277(s, 1H, H-6) and 15; δ 1.071(s, 9H, t-Bu), 3.085~3.532(m, 2H, -CH₂CH=CH₂), 3.491~3.534(m, 2H, H-5'), 4.035(dd, 1H, Hb-2'), 4.361(dd, 1H, Ha-2'), 5.158~5.612(m, 2H, CH₂CH=CH₂), 5.515(t, 1H, H-4'), 5.842~6.332(m, 2H, CH₂CH=CH₂), 6.302(dd, 1H, H-1'), 7.421~8.143(m, 10H, Ar), 8.215(s, 1H, H-6)

(2R,5S)-1-[2-[(tert-Butyldiphenylsilyl)oxymethyl]-1,3-oxathiolan-5-yl]-5-[2-(propylene)] uracil (14) and (2R,5R)-1-[2-[(tert-butyldiphenylsilyl)oxymethyl]-1,3-oxathiolan-5-yl]-5-[2-(propylene)] uracil (16)—Anomeric mixture로서 무색 oil상의 14, 16(69%)를 얻었다.

(2S,4S)-1-[2-[(tert-Butyldiphenylsilyl)oxymethyl]-1,3-dioxolan-4yl]-5-[2-(propylene)] uracil (17)—Anomeric mixture로서 무색 oil상의 17(69%)를 얻었다.

thyl]-1,3-dioxolan-4yl]-5-acetoxymethyl uracil (17) and (2S,4R)-1-[2-[*tert*-butyldiphenylsilyl]oxy methyl]-1,3-dioxolan-4yl]-5-acetoxymethyl uracil (19) – 오일상의 화합물 17 및 19을 수율 37.0% 및 28.7 %로 얻었다. 17; ^1H NMR(CDCl_3 , 400 MHz) δ 1.100 (s, 9H, t-Bu), 1.919(s, 3H, $\text{CH}_2\text{OCOCH}_3$), 3.493(s, 2H, $\text{CH}_2\text{OCOCH}_3$), 3.943(s, 2H, H-5'), 4.177(dd, 1H, Hb-2'), 4.587(dd, 1H, Ha-2'), 5.110(t, 1H, H-4'), 6.293(dd, 1H, H-1'), 7.439~8.241(m, 10H, Ar), 8.303(s, 1H, H-6) and 19; δ 1.072(s, 9H, t-Bu), 2.056(s, 3H, $\text{CH}_2\text{OCOCH}_3$), 3.488(s, 2H, $\text{CH}_2\text{OCOCH}_3$), 3.719~3.794 (m, 2H, H-5'), 4.061(dd, 1H, Hb-2'), 4.401(dd, 1H, Ha-2'), 5.588(t, 1H, H-H-4'), 6.275(dd, 1H, H-1'), 7.452~8.123(m, 10H, Ar), 9.005(s, 1H, H-6)

(2R,5S)-1-[2-[*tert*-Butyldiphenylsilyl]oxymethyl]-1,3-oxathiolan-5-yl]-5-acetoxymethyluracil (18) and (2R,5R)-1-[2-[*tert*-butyldiphenylsilyl]oxymethyl]-1,3-oxathiolan-5-yl]-5-acetoxymethyl uracil (20) – Anomeric mixture로서 무색 oil상의 18, 20(71%)를 얻었다.

탈보호된 L-1,3-dioxolane 및 L-1,3-oxathiolane뉴크레오사이드류의 일반합성법 – 보호된 L-1,3-dioxolane 혹은 L-1,3-oxathiolane뉴크레오사이드(0.31 mmol)을 무수 THF(5 mL)에 용해하고 1.0M *tetra*-n-butylammonium fluoride in THF(0.5 mL, 0.5 mmol)을 부가하여 무수를 유지하면서 실온에서 1시간 교반하였다. TLC로 반응종결을 확인한 후에 용매를 감압증발 제거하고 잔사를 실리카겔 column chromatography로 정제하여 탈 보호된 L-1,3-dioxolane 및 L-1,3-oxathiolane뉴크레오사이드류를 얻었다. 이들 뉴크레오사이드들의 NMR-스펙트럼 및 physical constant는 Table I 및 II에 나타내었다.

(-)-(2S,4S)-1-2-(Hydroxymethyl)-1,3-dioxolan-4-yl-5-trifluoromethyl uracil (21) – Silica gel column chromatography (n-hexane : ethyl acetate = 1 : 3)로 정제분리하여 무색 고체 21(95.3%)을 얻었다.

(-)-(2R,5S)-1-[2-(Hydroxy methyl)-1,3-oxathiolan-5-yl]-5-trifluoro methyl uracil (22) – Silica gel column chromatography(n-hexane : ethyl acetate = 1 : 3)로 정제분리하여 무색 고체 22(98%)을 얻었다.

(+)-(2S,4R)-1-[2-(Hydroxymethyl)-1,3-dioxolan-

4-yl]-5-trifluoromethyl uracil(23) – Silica gel column chromatography(n-hexane : ethyl acetate = 1 : 3)로 정제분리하여 foam 상의 23(99.6%)을 얻었다.

(+)-(2R,5R)-1-[2-(Hydroxymethyl)-1,3-oxathiolan-5-yl]-5-trifluoromethyl uracil (24) – Silica gel column chromatography(n-hexane : ethyl acetate = 1 : 3)로 정제분리하여 foam 상의 24(97%)을 얻었다.

(+)-(2S,4S)-1-[2-(Hydroxymethyl)-1,3-dioxolan-4-yl]-5-ethyl uracil (25) – Silica gel column chromatography(n-hexane : ethyl acetate = 1 : 3)로 정제분리하여 무색 고체 25(92%)을 얻었다.

(-)-(2S,4R)-1-[2-(Hydroxymethyl)-1,3-dioxolan-4-yl]-5-ethyl uracil (27) – Silica gel column chromatography(n-hexane : ethyl acetate = 1 : 3)로 정제분리하여 foam 상의 27(96%)을 얻었다.

(-)-(2R,5S)-1-[2-(Hydroxymethyl)-1,3-oxathiolan-5-yl]-5-ethyluracil (26) and (+)-(2R,5R)-1-[2-(Hydroxymethyl)-1,3-oxathiolan-5-yl]-5-ethyluracil (28) – Silica gel column chromatography(n-hexane : ethyl acetate = 1 : 2)로 정제분리하여 foam 상의 26(48%)과 28(48%)를 얻었다.

(+)-(2S,4S)-1-[2-(Hydroxymethyl)-1,3-dioxolan-4-yl]-5-propyl uracil (29) – Silica gel column chromatography(n-hexane : ethyl acetate = 1 : 3)로 정제분리하여 무색 고체 29(94.2%)을 얻었다.

(-)-(2S,4R)-1-[2-(Hydroxymethyl)-1,3-dioxolan-4-yl]-5-propyl uracil (2.31) – Silica gel column chromatography(n-hexane : ethyl acetate = 1 : 3)로 정제분리하여 foam 상의 31(97%)을 얻었다.

(-)-(2R,5S)-1-[2-(Hydroxymethyl)-1,3-oxathiolan-5-yl]-5-propyluracil (30) and (+)-(2R,5R)-1-[2-(Hydroxymethyl)-1,3-oxathiolan-5-yl]-5-propyluracil (32) – Silica gel column chromatography(n-hexane : ethyl acetate = 1 : 3)로 정제분리하여 foam 상의 30(47%)과 무색 고체 32(48%)를 얻었다.

(+)-(2S,4S)-1-[2-(Hydroxymethyl)-1,3-dioxolan-4-yl]-5-(2-propylene) uracil (33) – Silica gel column chromatography(n-hexane : ethyl acetate = 1 : 3)로 정제분리하여 무색 고체 33(82.8%)을 얻었다.

(-)-(2S,4R)-1-[2-(Hydroxymethyl)-1,3-dioxolan-4-yl]-5-(2-propylene) uracil (35) – Silica gel column

chromatography(n-hexane : ethyl acetate=1:3)로 정제분리하여 foam 상의 35(84.7%)을 얻었다.

(-)-(2R,5S)-1-[2-(Hydroxymethyl)-1,3-oxathiolan-5-yl]-5-2-(propylene) uracil (34) and (+)-(2R,5R)-1-[2-(Hydroxy methyl)-1,3-oxathiolan-5-yl]-5-2-(propylene) uracil (36)—Silica gel column chromatography(n-hexane : ethyl acetate=1:1.5)로 정제분리하여 foam 상의 34(48%)와 36(47%)를 얻었다.

(+)-(2S,4S)-1-[2-(Hydroxymethyl)-1,3-dioxolan-4-yl]-5-acetoxymethyl uracil (37)—Silica gel column chromatography(n-hexane : ethyl acetate=1:3)로 정제분리하여 foam 상의 37(88.3%)을 얻었다.

(+)-(2S,4S)-1-[2-(Hydroxymethyl)-1,3-dioxolan-4-yl]-5-acetoxymethyl uracil (39)—Silica gel column chromatography(n-hexane : ethyl acetate=1:3)로 정제분리하여 foam 상의 39(81.2%)을 얻었다. IR(nujol); 1250, 1715 cm^{-1}

(-)-(2R,5S)-1-[2-(Hydroxymethyl)-1,3-oxathiolan-5-yl]-5-acetoxymethyluracil (38) and (+)-(2R,5R)-1-[2-(Hydroxymethyl)-1,3-oxathiolan-5-yl]-5-acetoxymethyl uracil (40)—Silica gel column chromatography(n-hexane : ethyl acetate=1:4)로 정제분리하여 foam 상의 38(47.6%)와 40(48.1%)를 얻었다.

(2S,4S)-1-[2-[(tert-Butyldiphenylsilyl)oxymethyl]-1,3-dioxolan-4-yl]-6-azauracil (41) and (2S,4R)-1-[2-[(tert-butyldiphenylsilyl)oxymethyl]-1,3-dioxolan-4-yl]-6-azauracil (42)—오일상의 화합물 41 및 42를 수율 25.2% 및 18.0%로 얻었다. 41; ^1H NMR (CDCl_3 , 400 MHz) δ 1.063(s, 9H, t-Bu), 3.722~3.916(m, 2H, H-5'), 4.274(dd, 1H, Hb-2'), 4.349(dd, 1H, Ha-2'), 5.499(t, 1H, H-4'), 6.564(dd, 1H, H-1'), 7.418~7.987(m, 10H, Ar), 9.059(s, 1H, H-5) and 42; δ 1.055(s, 9H, t-Bu), 3.754(s, 2H, H-5'), 4.123(dd, 1H, Hb-2'), 4.337(dd, 1H, Ha-2'), 5.245(t, 1H, H-4'), 6.478(dd, 1H, H-1'), 7.384~7.832(m, 10H, Ar), 9.017(s, 1H, H-5)

(2S,4S)-1-[2-[(tert-Butyldiphenylsilyl)oxymethyl]-1,3-dioxolan-4-yl]-6-azathymine (43) and (2S,4R)-1-[2-[(tert-butyldiphenylsilyl)oxymethyl]-1,3-dioxolan-4-yl]-6-azathymine (45)—오일상의 화합물 43 및 45를 수율 25.2% 및 18.0%로 얻었다. 43; ^1H

NMR(CDCl_3 , 400 MHz) δ 1.114(s, 9H, t-Bu), 2.252(s, 3H, CH₃), 3.824~4.014(m, 2H, H-5'), 4.124(dd, 1H, Hb-2'), 4.223(dd, 1H, Ha-2'), 5.578(t, 1H, H-4'), 6.502(t, 1H, H-1'), 7.535(m, 10H, Ar), 8.925(br.s, 1H, NH) and 45; δ 1.205(s, 9H, t-Bu), 2.129(s, 3H, CH₃), 3.806(s, 2H, H-5'), 4.201(dd, 1H, Hb-2'), 4.301(dd, 1H, Ha-2'), 5.274(t, 1H, H-4'), 6.452(t, 1H, H-1'), 7.425(m, 10H, Ar), 8.601(br s, 1H, NH)

(2R,5S)-1-[2-[(tert-Butyldiphenylsilyl)oxymethyl]-1,3-oxathiolan-5-yl]-6-azathymine (44) and (2R,5R)-1-[2-[(tert-butyldiphenylsilyl)oxymethyl]-1,3-oxathiolan-5-yl]-6-azathymine (46)—Anomeric mixture로서 무색 오일상의 44, 46(61.7%)를 얻었다.

(+)-(2S,4S)-1-[2-(Hydroxymethyl)-1,3-dioxolan-4-yl]-6-aza uracil (47)—Silica gel column chromatography(n-hexane : ethyl acetate=1:3)로 정제분리하여 foam 상의 47(94%)을 얻었다.

(-)-(2S,4R)-1-[2-(Hydroxymethyl)-1,3-dioxolan-4-yl]-6-aza uracil (48)—Silica gel column chromatography(n-hexane : ethyl acetate=1:3)로 정제분리하여 foam 상의 48(98%)을 얻었다.

(+)-(2S,4S)-1-[2-(Hydroxymethyl)-1,3-dioxolan-4-yl]-6-aza thymine (49)—Silica gel column chromatography(n-hexane : ethyl acetate=1:3)로 정제분리하여 foam 상의 49(97%)을 얻었다.

(-)-(2S,4R)-1-[2-(Hydroxymethyl)-1,3-dioxolan-4-yl]-6-aza thymine (51)—Silica gel column chromatography(n-hexane : ethyl acetate=1:3)로 정제분리하여 foam 상의 51(96%)을 얻었다.

(-)-(2R,5S)-1-[2-(Hydroxymethyl)-1,3-oxathiolan-5-yl]-6-azathymine (50) and (+)-(2R,5R)-1-[2-(Hydroxymethyl)-1,3-oxathiolan-5-yl]-6-azathymine (52)—Silica gel column chromatography(n-hexane : ethyl acetate=2:3)로 정제분리하여 foam 상의 50(40.4%)와 52(47.7%)를 얻었다.

(2S,4S)-1-[2-[(tert-Butyldiphenylsilyl)oxymethyl]-1,3-dioxolan-4-yl]-6-methyl uracil (53) and (2S,4R)-1-[2-[(tert-butyldiphenylsilyl)oxymethyl]-1,3-dioxolan-4-yl]-6-methyl uracil (55)÷Anomeric mixture로서 무색 오일상의 53과 55(85.5%)을 얻었다.

(2R,5S)-1-[2-[(tert-Butyldiphenylsilyl)oxymethyl]-1,3-oxathiolan-5-yl]-6-methyluracil (54) and

(2R,5R)-1-[2-[*tert*-butyldiphenylsilyl]oxymethyl]-1,3-oxathiolan-5-yl]-6-methyluracil (56)—Anomeric mixture로서 무색 오일상의 54, 56(62.7%)를 얻었다.

(2S,4S)-1-[2-[*tert*-Butyldiphenylsilyl]oxymethyl]-1,3-dioxolan-4-yl]-5,6-dimethyl uracil (57) and (2S,4R)-1-[2-[*tert*-butyldiphenylsilyl]oxymethyl]-1,3-dioxolan-4-yl]-5,6-dimethyl uracil (59)—오일상의 화합물 57 및 59은 수율 25.0% 및 27.9%로 얻었다.
57; ^1H NMR(CDCl₃, 400 MHz) δ 1.117(s, 9H, t-Bu), 1.700(s, 3H, 5-CH₃), 2.185(s, 3H, 6-CH₃), 3.544~3.614(m, 2H, H-5'), 3.805(dd, 1H, Hb-2'), 4.104(dd, 1H, Ha-2'), 4.802(t, 1H, H-4'), 6.224(dd, 1H, H-1'), 7.738~8.256(m, 10H, Ar) and 59; δ 1.085(s, 9H, t-Bu), 1.547(s, 3H, 5-CH₃), 2.185(s, 3H, 5-CH₃), 3.314~3.403(m, 2H, H-5'), 4.051(dd, 1H, Hb-2'), 4.141(dd, 1H, Ha-2'), 5.294(t, 1H, H-4'), 6.018(dd, 1H, H-1'), 7.801~8.432(m, 10H, Ar)

(2R,5S)-1-[2-[*tert*-Butyldiphenylsilyl]oxymethyl]-1,3-oxathiolan-5-yl]-5,6-dimethyluracil (58) and (2R,5R)-1-[2-[*tert*-butyldiphenylsilyl]oxymethyl]-1,3-oxathiolan-5-yl]-5,6-dimethyluracil (60)—Anomeric mixture로서 무색 오일상의 58, 60(63%)를 얻었다.

(2S,4R) and (2S,4S)-1-[2-(Hydroxy methyl)-1,3-dioxolan-4-yl]-6-methyl uracil (61, 63)—Silica gel column chromatography(n-hexane : ethyl acetate = 1 : 5)로 정제 분리하여 61(89.1%), 63(92%)을 얻었다.

(-)-(2R,5S)-1-[2-(Hydroxy methyl)-1,3-oxathiolan-5-yl]-6-methyl uracil (62) and (+)-(2R,5R)-1-[2-(Hydroxy methyl)-1,3-oxathiolan-5-yl]-6-methyl uracil (64)—Silica gel column chromatography(n-hexane : ethyl acetate = 1 : 5)로 정제분리하여 foam 상의 62(47.6%)와 64(45.4%)를 얻었다.

(+)-(2S,4S)-1-[2-(Hydroxymethyl)-1,3-dioxolan-4-yl]-5,6-dimethyl uracil (65)—Silica gel column chromatography(n-hexane : ethyl acetate = 1 : 5)로 정제분리하여 무색 고체 65(62.7%)을 얻었다.

(-)-(2S,4R)-1-[2-(Hydroxymethyl)-1,3-dioxolan-4-yl]-5,6-dimethyl uracil (67)—Silica gel column chromatography(n-hexane : ethyl acetate = 1 : 5)로 정제분리하여 무색 고체 67(96%)을 얻었다.

(-)-(2R,5S)-1-[2-(Hydroxymethyl)-1,3-oxathiolan-5-yl]-5,6-dimethyl uracil (66) and (+)-(2R,5R)-1-[2-(Hydroxy methyl)-1,3-oxathiolan-5-yl]-5,6-dimethyl uracil (68)—Silica gel column chromatography(n-hexane : ethyl acetate = 1 : 5)로 정제분리하여 foam 상의 66(44%)와 68(46%)를 얻었다.

결과 및 고찰

본 저자 등이 개선된 방법⁷⁾으로 L-1,3-dioxolanyl acetate (69) 및 L-1,3-oxathiolanyl acetate(70)를 di-silylation된 염기류들과 Vuerbruggen 조건¹¹⁾에서 축합하여 anomeric mixture로서 L-form의 nucleoside 류를 합성할 수가 있었다. 염기와의 축합실험에서 사용한 Lewis acid로는 trimethylsilyl trifluoromethane sulfonate로서 기존에 쓰인 SnCl₄와 같은 강력한 Lewis acid를 쓰지 않음으로써 문제가 되었던 acetal form의 oxolane 혹은 oxathiolane의 개열을 방지할 수가 있었다. 또한 L-1,3-dioxolane의 nucleoside 류인 경우는 5'-hydroxy기가 TBDPS기로 보호가 되어 있는 상태가 anomeric mixture의 극성차이가 커서 분리하기가 용이하였지만 L-1,3-oxathiolane의 nucleoside 류의 경우는 5'-hydroxy를 desilylation한 후의 anomeric mixture의 극성차이가 더 컸다. 이를 anomeric mixture는 column chromatography로 정제 분리하였으며, anomer에 대한 구조 결정은 ^1H NMR pattern에서 쉽게 결정할 수 있었다.¹²⁾ 즉 첫째로 anomeric proton인 경우에는 기존에 알려진 nucleoside 류가 공통적인 특성으로 나타내듯이 β -nucleoside 류가 α -nucleoside 류보다 chemical shift가 고자장에 나타나며, 두번째로는 4'-proton의 경우에는 염기핵과 cis관계인 α -nucleoside 류가 β -nucleoside 류보다 chemical shift가 저자장에 나타났다. 이는 염기의 ring-current에 의한 anisotropy effect 때문이라고 추측할 수 있었다. 세번째로는 diastereotopic한 2'위치의 proton들이 각각 anomeric-proton에 대하여 독특한 coupling constant와 chemical shift-pattern을 가지고 있었다. 즉, β -nucleoside 류인 경우에 있어서는 vicinal coupling constant를 보여주는 peak들이 α -nucleoside 류 보다 저자장에 나타났다. 기타 NOE (nuclear Overhauser effect) 등과 같은 방법으로도 구조결정이 가능하였다.

결 론

1. L-1,3-dioxolanyl acetate 및 L-1,3-oxathiolanyl acetate와 각종 염기(9종)을 축합하여 34종의 새로운 뉴크레오사이드를 합성하였다.

2. 수종의 virus에 대하여 activity를 검토한 결과 화합물 25,32가 Human Cytomegalovirus에 대해 활성을 나타냈고 재검토를 수행중이다. 또한 HIV(Human Immunodeficiency Virus)에 대한 항바이러스 작용은 현저하지 않은 것으로 나타났다.

감사의 글

본 연구는 1993년도 과학재단 G-7 Project 연구비와 1994년도 서울대 약대 약학교육 연구재단의 연구비로 수행되었기에 감사 드립니다. 또한 HIV에 대한 항바이러스작용 검색실험을 행해주신 국립보건원 신영오 박사께 감사드립니다.

문 헌

- 1) Belleau, B.; Dixit, D.; Nguyen-Ba, NiKraus, J. L. *Fifth International Conf. on AIDS Montreal, Canada, June 4-9, 1989*, paper no T.C.O.I.
- 2) Nobeck, D. W.; Spanton, S.; Broder, S.; Mitsuya, H. (+)-Dioxolane-T [(+)-1-[(2β,4β)-2-(hydroxymethyl)-4-dioxolanyl] thymine, A new 2',3'-dideoxy nucleoside prototype with in vitro activity against HIV. *Tetrahedron Lett.*, **1989**, 30, 6263-6266.
- 3) Choi, w. B.; Wilson, L. J.; Yeola, S.; Liotta, D. C.; Schinazi, R. F. In Situ Complexation Directs the Stereochemistry of N-Glycosylation in the synthesis of Thiolanyl and Dioxolanyl Nucleoside Analogues, *J. Am. Chem. Soc.* **1991**, 113, 9377-9378.
- 4) Evans, M. E.; Parrish, F. W. A simple synthesis of L-gulose. *Carbohydr. Res.*, **1973**, 28, 359-364.
- 5) Stewart, L. C.; Richtmeyer, N. K. Transformation of D-gulose to 1,6-anhydro-β-D-gulopyranose in

acid solution. *J. Am. Chem. Soc.*, **1955**, 77, 1021-1024.

- 6) Kim, H. O.; schinazi, R. F.; Shanmuganathan, K.; Jeong, L. S.; Beach, J. W.; Nampalli, S.; Cannon, D. L.; Chu, C. K. *J. Med. Chem.*, **1993**, 36, 519-528.
- 7) Xu, Y. C.; Hong, J. H.; Park, J. H.; Song, J. Y.; Chung, W. -K.; Chun, M. W. Improved Synthesis of L-1,3-Dioxolanyl and L-1,3-Oxathiolanyl Acetate from L-Gulose. *Archives of Pharmacal Research*, **1994**, in press.
- 8) Winkley, M. W.; Robins, R. K. *J. Chem. Soc. sec. C* (**1969**) 791.
- 9) Niedballa, U.; Vorbruggen, H. *J. Org. Chem.*, **(1974)**, 39, 3660.
- 10) Dhavale, D.; Tagliavini, E.; Trombini, C.; Umami-Ronchi. A novel synthetic equivalents of differentially protected tartaric aldehyde. A simple route to useful C-4 chiral synthons. *Tetrahedron Lett.*, **1988**, 29, 6163-6165.
- 11) Vorbruggen, H.; Krobkiewicz, K.; Bennua, B. Nucleoside synthesis with trimethylsilyl triflate and perchlorates as catalysts. *Chem. Ber.*, **1981**, 114, 1234-1255.
- 12) a) Chu, C. K.; K1-Kabbani, F. M.; Thompson; B. B. Determination of the Anomeric Configuration of C-Nucleosides by ¹H and ¹³C NMR Spectroscopy. *Nucleosides Nucleotides*, **1984**, 3(1), 1-31 and references cited therein.
b) Bellosta, V.; Czernecki, S.; Avenel, D.; Bahij, El. S.; Gillier-Pandraud, H. *Can. J. Chem.*, **1990**, 68, 1364.
c) J. G. Buchanan, A. D. Dunn, A. R. Edgen. *J. Chem. Soc. Perkin trans.*, **1976**, 1, 68.
d) Bellosta, V.; Chassagnard, C.; Czernecki, S.; Carbohydr. Res., **1991**, 219 1.
e) Bock, K.; Pedersen, C. *J. Chem. Soc. Perkin trans.*, **1974**, 2, 293.
f) Agrawal, P. K.; Jain, K. C.; Gupta, R. K.; Thakur, R. S.; *Phytochemistry*, **1985**, 24, 2479.